

เอกสารอ้างอิง

เกื้อกูล ปิยะจอมขวัญ, กล้านรงค์ ศรีรัต. 2544ก. มาชูจักเป็นสุขภาพ (Resistant starch) กันเถอะ.

ข่าวสาขาวิชาการในวงแบ่ง 1(1) : 4-5.

เกื้อกูล ปิยะจอมขวัญ, กล้านรงค์ ศรีรัต. 2544ข. มาชูจักเป็นสุขภาพ (Resistant starch) กันเถอะ (ตอนจบ). ข่าวสาขาวิชาการในวงแบ่ง 1(2): 4-5.

กล้านรงค์ ศรีรัต, เกื้อกูล ปิยะจอมขวัญ. 2546. เทคโนโลยีของแบ่ง พิมพ์ครั้งที่ 3. กรุงเทพฯ: สำนักพิมพ์ มหาวิทยาลัยเกษตรศาสตร์. 303 หน้า.

กล้านรงค์ ศรีรัต, สุทธิ นิติชัย และวันชัย โชคชัยไพบูล. 2539. การใช้ Rapid Visco Analyzer (RVA) ควบคุมคุณภาพในกระบวนการผลิตก๋วยเตี๋ยว. การประชุมทางวิชาการของ มหาวิทยาลัยเกษตรศาสตร์ ครั้งที่ 34 สาขาวิทยาศาสตร์ วิศวกรรมศาสตร์ อุตสาหกรรม เกษตร คหกรรมศาสตร์ การจัดการทรัพยากรและสิ่งแวดล้อม ศึกษาศาสตร์ ตั้งคามศาสตร์ เศรษฐศาสตร์ และบริหารธุรกิจ. 30 มกราคม - 1 กุมภาพันธ์ 2539. กรุงเทพฯ: มหาวิทยาลัยเกษตรศาสตร์ กระทรวงเกษตรและสหกรณ์ กระทรวงวิทยาศาสตร์ เทคโนโลยีและสิ่งแวดล้อม ทบวงมหาวิทยาลัย: 181-191

งานชื่น คงเสรี. 2541. ข้าวที่เหมาะสมสำหรับการแปรรูปก๋วยเตี๋ยวและการตรวจสอบคุณภาพ. ใน เอกสารประกอบการบรรยายโครงการฝึกอบรมเรื่อง การพัฒนาและยกระดับอุตสาหกรรม ก๋วยเตี๋ยวและขนมจีน โดยใช้เทคโนโลยีสะอาด. กรุงเทพฯ: สถาบันค้นคว้าและพัฒนา ผลิตภัณฑ์อาหารมหาวิทยาลัยเกษตรศาสตร์: 14-32.

ชุดima อัศวเสถียร และนิลศิริ นิลเนตร. 2548. การทดสอบแบ่งข้าวเจ้าด้วยแบ่งกลวยในก๋วยเตี๋ยวเส้น ใหญ่. เรื่องเต็มการประชุมทางวิชาการของมหาวิทยาลัยเกษตรศาสตร์ ครั้งที่ 43 สาขาวัสดุ สาขาอุตสาหกรรมเกษตร. กรุงเทพฯ: 544-550

ณรงค์ นิยมวิทยา. 2538. ผลิตภัณฑ์จากธัญชาติ. กรุงเทพฯ: มหาวิทยาลัยเกษตรศาสตร์. 235 หน้า.
พรพิศ โพธิสุข. 2548. การพัฒนาระบบวิธีการผลิตก๋วยเตี๋ยวข้างกล้องอบแห้ง. วิทยานิพนธ์ปริญญา วิทยาศาสตร์มหาบัณฑิต ภาควิชาพัฒนาผลิตภัณฑ์อุตสาหกรรมการเกษตร บัณฑิต วิทยาลัย: มหาวิทยาลัยเกษตรศาสตร์. 153 หน้า.

มาลินี พิกกี้. 2539. พืชหัวของไทย: มันเทศและเผือก. เอกสารวิชาการกองส่งเสริมพืชไร่นา. กรมส่งเสริมการเกษตร. 77 หน้า.

- มนทกานต์ เบญจพลากร. 2549. สมบัติทางเคมีกายภาพของแป้งและสารชากาลัดน่าน *Sterculia monosperma* Vent. วิทยานิพนธ์ปริญญาวิทยาศาสตรมหาบัณฑิต สาขาวิชา เทคโนโลยีทางอาหาร ภาควิชาเทคโนโลยีอาหาร คณะวิทยาศาสตร์: จุฬาลงกรณ์มหาวิทยาลัย. 107 หน้า.
- รองรัตน์ รัตนารมวัฒน์. 2546. การพัฒนาผลิตภัณฑ์ขนมขบเคี้ยวจากแป้งเผือก. วิทยานิพนธ์ มหาบัณฑิต. กรุงเทพฯ: มหาวิทยาลัยเกษตรศาสตร์. 187 หน้า.
- วรรณรัตน์ ศกลไชย, จันทนี อุริยะพงศ์สรรค์. 2551. การเกิด Resistant Starch โดยใช้กระบวนการ ความร้อนและการใช้ทัดแทนในผลิตภัณฑ์คุกคิว. วิทยานิพนธ์ปริญญาวิทยาศาสตร์ มหาบัณฑิต สาขาวิชาเทคโนโลยีอาหาร บัณฑิตวิทยาลัย: มหาวิทยาลัยขอนแก่น. 124 หน้า.
- วิภา สุโ الرحمنเมชาภูด. 2541. คุณสมบัติของข้าวและการเปลี่ยนแปลงระหว่างกระบวนการผลิต กว้างเตี้ยและเส้นหมี่. เอกสารประกอบการบรรยายโครงการฝึกอบรม เรื่อง การพัฒนาและยกระดับอุตสาหกรรมกว้างเตี้ยและขันมีนติน โดยใช้เทคโนโลยีสารสนเทศ. สถาบันสิ่งแวดล้อมไทย. กรุงเทพฯ: 35-51.
- วิลลศนา โพธิ์ศรี, เกย�น นันทชัย และอัมพร แซ่เอียว. 2551. เอกสารประกอบการสอนและบท ปฏิบัติการวิชา 667 432 การวิเคราะห์อาหาร โดยประยุกต์ความรู้สึก. ภาควิชาเทคโนโลยีอาหาร คณะเทคโนโลยี. ขอนแก่น: มหาวิทยาลัยขอนแก่น. 145 หน้า.
- สมศรี บุญเรือง, มาลินี พิทักษ์. 2537. การปัลกูฟีอกหอม. เอกสารคำแนะนำที่ 15. กรมส่งเสริม การเกษตร. 17 หน้า.
- สำนักงานมาตรฐานผลิตภัณฑ์อุตสาหกรรม. 2533. มาตรฐานผลิตภัณฑ์อุตสาหกรรมกว้างเตี้ย. มอก.959-2533.
- อรพรรณ กัลปนาอุทธ. 2547. การปรับปรุงคุณภาพกว้างเตี้ยพร้อมบริโภคในบรรจุภัณฑ์ปิดสนิท ผ่านกระบวนการพาสเจอไรเซชัน. วิทยานิพนธ์ปริญญาวิทยาศาสตรมหาบัณฑิต (วิทยาศาสตร์การอาหาร) บัณฑิตวิทยาลัย: มหาวิทยาลัยเกษตรศาสตร์. 180 หน้า.
- อรพรรณ เคหสุขเจริญ. 2529. คุณสมบัติบางประการในการนำไปใช้ประโยชน์ของแป้งต่างๆ. วิทยานิพนธ์ปริญญาโท. มหาวิทยาลัยเกษตรศาสตร์. กรุงเทพฯ. 120 หน้า.
- อรอนงค์ นัยวิกฤต. 2547. ข้าว; วิทยาศาสตร์และเทคโนโลยี. พิมพ์ครั้งที่ 1. กรุงเทพฯ: สำนักพิมพ์ มหาวิทยาลัยเกษตรศาสตร์. 366 หน้า.
- AACC. 2000. American Association of Cereal Chemists. Approved Methods of the AACC, 9th ed. Method 46-11A; Method 30-10; Method 44-19A; Method 08-01; Method 61-02; Method 76-13; Method 32-40 St. Paul, Minnesota: The Association.

- Aparicio-Sagüilán A, Sonia G, Vargas-Torres A, Tovar J, Tania E, Luis A. 2007. Slowly digestible cookies prepared from resistant starch-rich ligninized banana starch. *J Food Comp Anal* 20: 175-181.
- Aprianita A, Purwandari U, Watson B, Vasiljevic T. 2009. Physico-chemical properties of flour and starch from selected commercial tubers available in Australia. *International Food Research Journal* 16: 507-520.
- Bogacheva TY, Morris VJ, Ring SG, Hedley CL. 1998. The granular structure of C-type pea starch and its role in gelatinization. *Biopolymers* 45: 323-332.
- Englyst HN, Kingman SM, Cummings JH. 1992. Classification and measurement of nutritionally important starch fractions. *European Journal of Clinical Nutrition* 2:33-50.
- Freeman JE, Watson SA. 1971. Influence of sorghum endosperm pigments on starch quality. *Cereal Science Today* 16(11): 378-381.
- French D. 1975. Chemistry and biochemistry of starch. In W.J. Whelan (ed.). *Biochemistry of Carbohydrates*. London: Butterworth: 267-335.
- Haasse NU, Mintus T, Weipert D. 1995. Viscosity measurement of potato starch paste with the Rapid Visco Analyzer. *Starch* 47: 123-126.
- Hizukuri S. 1986. Polymodal distribution of the chain lengths of amylopectins and its significance. *Carbohydrates Research*. 147: 342.
- Jane J, Kasemsuwan T, Chen JF, Juliano BO. 1996. Phosphorus in rice and other starches. *Cereal Foods World* 41: 827-832.
- Jaroslaw K, Witczak M, Ziobro R, Juszczak L. 2009. The impact of resistant starch on characteristics of gluten-free dough and bread. *Food Hydrocolloid* 23: 988-995.
- Karin EA, Charles EC, Marie KW. 2007. Influence of protein level and starch type on an extrusion-expanded whey product. *International J Food Sci Technol* 42: 953-960.
- Kugimiya M, Donovan JW, Wong RY. 1980. Phase transitions of amylose-lipid complexes in starches: A calorimetric study. *Starch* 32: 265.
- Leach HW, McCowen LD, Schoch TJ. 1959. Structure of the starch granule I. Swelling and solubility patterns of various starches. *Cereal Chem* 36: 534-544.
- Macfie HJ, Bratchell JE. 1989. Design to balance the effect of order of presentation and first-order carry-over effects in hall tests. *J Food Sci* 46(5): 1400-1403.

- Mestres C, Colonna P, Buleon A. 1988. Characterization of starch networks within rice flour noodles and mung bean starch vermicelli. *J Food Sci* 53:1809–1812.
- Oates CG. 1997. Towards and understanding of starch granule structure and hydrolysis. *Trends Food Sci Technol* 8: 375-382.
- Richard RM. 1968. Tailoring starches for the baking industry. *The Baker Digest* 64: 48-53.
- Robin JP, Mercier C, Charbonniere R, Guilbot. JA. 1974. Lintnerized starches, gel filtration and enzymatic studies of insoluble residues from prolonged acid treatment of potato starch. *Cereal Chem.* 51: 389-406.
- Sajilata MG, Rekha SS, Pushpa RK. 2006. The resistant starch A review. *Comprehensive reviews in food science and food safety* 5: 1-17.
- Schoch TJ, Mayward EC. 1968. Preparation and properties of various legume starches. *Cereal chem* 45: 564-573.
- Sozer N, Dalgic AC, Kaya A. 2007. Thermal, textural and cooking properties of spaghetti enriched with resistant starch. *J Food Eng* 81: 476-484.
- Swinkels JJM. 1985. Source of starch, its chemistry and physics. In G.M.A. van Bennum. And J.A. Roles (eds.). *Starch Convension Technology*. New york: Marcel Dekker, Inc: 15-45.
- Tattiyakul, J, Asavasaksakul S, Pradipasena P. 2006. Chemical and physical properties of flour extracted from taro *Colocasia esculenta* (L.) Schott grown in different regions of Thailand. *Science Asia* 32: 279-284.
- Thiewes HJ, Steeneken PAM. 1997. Comparison of the Brabender Viscograph and the Rapid Visco Analyzer. 1. Statistical evaluation of the pasting profile. *Starch* 49: 85-92.
- Whistler RL, Smart CL. 1953. *Polysaccharide Chemistry*. New York: Academic Press. 239-245.
- Yue P, Waring S. 1998. Functionality of resistant starch in food applications. *Food Australia* 50(1): 615-621.

ภาคผนวก

ภาคผนวก ก

การวิเคราะห์ลักษณะทางกายภาพ และเคมี

1. การวิเคราะห์หาปริมาณความชื้น (AACC 2000 methods 44-19)

1.1 เตรียมถ้วยหาความชื้น (moisture can) ที่ล้างสะอาดและอบแห้งแล้ว บันทึกน้ำหนักที่แน่นอน

1.2 ชั่งตัวอย่างประมาณ 3 กรัม ใส่ในถ้วยหาความชื้น บันทึกน้ำหนักที่แน่นอนของตัวอย่าง

1.3 นำตัวอย่างในถ้วยหาความชื้นไปอบในเตาอบลมร้อน (hot air oven) ที่อุณหภูมิ 135 องศาเซลเซียส นาน 2 ชั่วโมง (หรือจนมีน้ำหนักคงที่)

1.4 นำถ้วยหาความชื้นออกจากเตาอบ แล้วทิ้งให้เย็นในโคลด์ความชื้น (desiccator) นาน 30-45 นาที

1.5 เมื่อยเย็นแล้วนำมาชั่งน้ำหนัก บันทึกค่าที่แน่นอน

การคำนวณปริมาณความชื้น

$$\text{ร้อยละปริมาณความชื้น} = \frac{(\text{น้ำหนักตัวอย่างเริ่มต้น} - \text{น้ำหนักตัวอย่างหลังอบ})}{\text{น้ำหนักตัวอย่างเริ่มต้น}} \times 100$$

2. การวิเคราะห์หาปริมาณถ้า (AACC 2000 methods 08-01)

2.1 เพาถ้วยกระเบื้อง (crucible) ที่สะอาดและแห้งในเตาเผาที่อุณหภูมิ 550 องศาเซลเซียส ปล่อยให้เย็นแล้วซึ่งเพื่อให้ทราบน้ำหนักที่แน่นอน

2.2 ชั่งตัวอย่าง 3-5 กรัม ลงในถ้วยบันทึกน้ำหนักที่แน่นอน

2.3 นำถ้วยกระเบื้องพร้อมด้วยตัวอย่างเพาที่อุณหภูมิ 550 องศาเซลเซียส เพาจะเป็นสีขาว หรือเทาอ่อนหรือจนน้ำหนักคงที่

2.4 นำตัวอย่างไปทิ้งให้เย็นในโคลด์ความชื้น แล้วชั่งน้ำหนักที่แน่นอน

การคำนวณปริมาณถ้าทั้งหมด

$$\text{ร้อยละปริมาณถ้าทั้งหมด} = \frac{(\text{น้ำหนักตัวอย่างเริ่มต้น} - \text{น้ำหนักตัวอย่างหลังเผา})}{\text{น้ำหนักตัวอย่างเริ่มต้น}} \times 100$$

3. การวิเคราะห์หาปริมาณไนยัน (AACC 2000 methods 30-10)

3.1 ชั่งตัวอย่างอาหารประมาณ 3 กรัม ลงในกระดาษกรองและห่อให้มิดชิด แล้วใส่ลงในทิมเบิล (Thimble) บันทึกน้ำหนักที่แน่นอนของตัวอย่าง (W1)

3.2 ชั้งถ้วยสักดําไขมัน (Extraction cup) ที่ผ่านการล้างและอบแห้งแล้ว บันทึกน้ำหนักที่แน่นอน (W2) จากนั้นเติมปีโตรเลียมอีเทอร์ ประมาณ 50-75 มิลลิลิตร แล้วนำถ้วยสักดําไขมันใส่ Soxtec system HT

3.3 ทำการเลื่อนคันโยกของเครื่อง Soxtec system HT ไปที่ตำแหน่ง boiling เพื่อสักดําเป็นเวลา 35 นาที จากนั้นเลื่อนคันโยกมาที่ตำแหน่ง rinsing เพื่อชะล้างเป็นเวลา 60 นาที จากนั้นทำการระเหยปีโตรเลียมอีเทอร์ เป็นเวลา 20-25 นาที

$$\text{ร้อยละปริมาณไขมัน} = \frac{(W_3 - W_2) \times 100}{W_1}$$

4. การวิเคราะห์หาปริมาณโปรตีน (AACCC 2000 methods 46-11A)

4.1 ชั้งตัวอย่าง 0.5 กรัม บนกระดาษชั่งสาร แล้วใส่ลงในหลอดย้อมโปรตีน จากนั้นเติม Kjeltab 1 เม็ด Glass bead 4-5 เม็ด สารป้องกันการเกิดฟอง (anti-foam agent) ประมาณ 1 มิลลิลิตร และกรดซัลฟิวริกเข้มข้น 8-10 มิลลิลิตร

4.2 ย่อตัวอย่างโดยใช้เครื่องย่อยที่อุณหภูมิ 420 องศาเซลเซียส จนได้สารละลายใส จากนั้นทิ้งไว้ให้เย็น

4.3 ปีเปตกรดอะริกร้อยละ 4 ปริมาณ 25 มิลลิลิตร ลงในขวดรูปหมู่ แล้วทำการกลั่นโดยใช้เครื่องกลั่น Kjeltec กลั่นจนสารละลายมีปริมาตร 150 มิลลิลิตร

4.4 ไทเทրตสารละลายที่ได้สารละลายที่ไม่มีตัวอย่าง (Blank) ด้วยกรดไฮโดรคลอริกเข้มข้น 0.1 นอร์มอล

การคำนวณปริมาณโปรตีน

$$\text{ร้อยละปริมาณโปรตีน} = \frac{(S - B) \times 1.401 \times N \times F}{\text{น้ำหนักของตัวอย่าง}}$$

เมื่อ S = ปริมาณกรดที่ใช้ไทเทรตตัวอย่าง

B = ปริมาณกรดที่ใช้ไทเทรตสารละลายที่ไม่มีตัวอย่าง

N = ความเข้มข้นของกรดที่ใช้ไทเทรต

F = ค่าคงที่ ($\text{ข้าว} = 5.95$, เพื่อก กล้วยน้ำว้า กล้วยหอมและมันเทศ = 6.25)

5. การวัดวิเคราะห์ปริมาณ Resistant Starch (AACC 2000 method 32-40)

5.1 การเตรียมสารที่ใช้ในการหาปริมาณ RS

a) Sodium maleate buffer (0.1 M, pH 6.0) มีวิธีการเตรียมดังนี้คือ

1. ละลาย maleic acid จำนวน 23.2 กรัม ในน้ำกลั่น 1,600 ml แล้วคนให้เข้ากัน
2. เตรียมสารละลาย Sodium Hydroxide (NaOH) 4M โดยละลาย NaOH 160 กรัม ในน้ำกลั่น 1 ลิตร
3. ปรับ pH สารละลายให้ได้ 6.0 ด้วย NaOH 4 M
4. เติม calcium chloride จำนวน 0.6 กรัม และ Sodium azide จำนวน 0.4 กรัม แล้ว คนให้เข้ากัน
5. ปรับปริมาตรสารละลายให้ได้ 2 ลิตร ด้วยน้ำกลั่น
6. เก็บสารละลายที่อุณหภูมิ 4°C เก็บได้นาน 1 ปี

b) Sodium acetate buffer (1.2 M, pH 3.8) มีวิธีเตรียมดังนี้คือ

1. เติม glacial acetic acid จำนวน 69.6 ml ในน้ำกลั่น 800 ml แล้วคนให้เข้ากัน
2. ปรับ pH สารละลายให้ได้ 3.8 ด้วย NaOH (4M)
3. ปรับปริมาตรสารละลายให้ได้ 1 ลิตรด้วยน้ำกลั่น
4. เก็บสารละลายที่อุณหภูมิห้อง เก็บได้นาน 1 ปี

c) Sodium acetate buffer (100 mM, pH 4.5)

1. เติม glacial acetic acid จำนวน 5.8 ml ในน้ำกลั่น 900 ml แล้วคนให้เข้ากัน
2. ปรับ pH สารละลายให้ได้ 4.5 ด้วย NaOH (4M)
3. ปรับปริมาตรสารละลายให้ได้ 1 ลิตรด้วยน้ำกลั่น
4. เก็บสารละลายที่อุณหภูมิ 4°C เก็บได้นาน 2 เดือน

d) Potassium Hydroxide (2M) มีวิธีเตรียมดังนี้คือ

1. ละลาย Potassium hydroxide จำนวน 112.2 กรัม ในน้ำกลั่น 900 ml แล้วคนให้เข้ากัน
2. ปรับปริมาตรสารละลายให้ได้ 1 ลิตร ด้วยน้ำกลั่น
3. เก็บสารละลายที่อุณหภูมิห้อง

e) Aqueous IMS (50% V/V) มีวิธีการเตรียมดังนี้คือ

1. เติม ethanol 95% หรือ ethanol 99% จำนวน 500 ml ในน้ำกลั่น 500 ml แล้วคนให้เข้ากัน
2. เก็บสารละลายในขวดที่ปิดสนิท โดยเก็บสารละลายที่อุณหภูมิห้อง เก็บได้นานกว่า 1 ปี

f) Stock Amyloglucosidase (AMG) Solution (12 ml, 3,000 U/ml ใน 50% glycerol) เก็บสารละลายน้ำที่ 4 °C เก็บได้นานกว่า 5 ปี

g) Dilute Amyloglucosidase (300 U/ml) มีวิธีเตรียมดังนี้คือ

1. ผสม AMG จากข้อ f จำนวน 2 ml กับ Sodium maleate buffer จากข้อ a จำนวน 22 ml ให้เข้ากัน
2. แบ่งใส่ขวด Polypropylene จำนวน 5 ขวด โดยแต่ละขวดมีปริมาตร 5 ml (ขวดสุดท้ายจะมีปริมาตร 4 ml)
3. เก็บสารละลายน้ำที่ -20°C เก็บได้นานกว่า 5 ปี

h) Pancreatic α -amylase (10ml/ml) มีวิธีเตรียมดังนี้คือ

1. ละลาย α -amylase จำนวน 1 กรัม ใน Sodium maleate buffer จากข้อ a จำนวน 100 ml แล้วคนให้เข้ากันนาน 5 นาที
2. เติม Amyloglucosidase จากข้อ g จำนวน 1 ml แล้วคนให้เข้ากันอย่างดี
3. นำสารละลายน้ำไป centrifuge ที่ความเร็ว 3,000 รอบ/นาที นาน 10 นาที
4. แยกของเหลวออกจากตะกรอน โดยใช้เฉพาะของเหลว (ทำทันทีที่ใช้เท่านั้น)

i) GOPOD mixture มีวิธีเตรียมดังนี้คือ

1. นำ Glucose Reagent Buffer จำนวน 50 ml มาปรับปริมาตรให้ได้ 1 ลิตรด้วยน้ำกลั่น
2. นำสารละลายน้ำที่ได้ไปละลาย GOPOD reagent
3. แบ่งใส่ขวด polypropylene จำนวน 5 ขวด โดยแต่ละขวดมีปริมาตร 200 ml
4. เก็บสารละลายน้ำที่อุณหภูมิ -20°C เก็บได้นานกว่า 2 ปี หรือเก็บสารละลายน้ำที่ 4°C เก็บได้นาน 2-3 เดือน

การเช็คการเกิดสี

ผสม GOPOD mixture จากข้อ I กับ Glucose standard 0.1 และ Sodium acetate buffer จากข้อ c เข้าด้วยกัน ถ้ามีสีที่มากจะเกิดภายใน 20 นาที แต่ถ้าสีมีความคงตัวจะเกิดสีนานกว่า 60 นาที

5.2 วิธีการหาปริมาณ RS

5.2.1 ชั่งแบ่งปริมาณ 100 ± 5 มิลลิกรัม ใส่ใน screw cap tube ขนาด 16×125 มิลลิเมตร ถ้าเป็นตัวอย่างเปยก ชั่ง 0.5 กรัม (60-80% ความชื้น)

5.2.2 ใส่ Pancreatic α -amylase ปริมาณ 4 มิลลิลิตร ลงในแต่ละหลอด ปิดฝาให้แน่นแล้วนำไป mix ในเครื่อง vortex mixer

5.2.3 นำไป Shake ในเครื่อง shaking water bath (200 stokes/minute) บ่มที่ 37°C นาน 16 ชั่วโมง โดยวิธีหลอดในแนวนอน

5.2.4 หลังจากครบ 16 ชั่วโมงแล้วใส่ ethanol 99% ปริมาณ 4 มิลลิลิตรลงในแต่ละหลอดปีกฟาร์ไทร์แล้วนำไป mix ในเครื่อง vortex mixer

5.2.5 นำไป centrifuge ที่ 3,000 รอบ/นาที นาน 10 นาที แล้วแยกของเหลวออกจากตะกรอน

5.2.6 ล้างตะกรอนโดยใส่ Aqueous IMS (50% V/V) 2 มิลลิลิตร แล้วนำไป mix ในเครื่อง vortex mixer จากนั้นใส่ Aqueous IMG เพิ่มอีก 6 มิลลิลิตร แล้วนำไป mix ในเครื่อง vortex mixer จากนั้นนำไป centrifuge ที่ 3,000 รอบ/นาที นาน 0 นาที แล้วแยกของเหลวออกจากตะกรอน ทำการล้างตะกรอนซ้ำอีก 1 รอบ รวมของเหลวทั้งหมดที่ได้จากการล้างเก็บไว้เพื่อนำไปวิเคราะห์ Non-Resistant starch ต่อไป

5.2.7 เติม KOH 2M ปริมาณ 2ml ลงในตะกรอนที่ผ่านการล้างแล้ว

5.2.8 ใช้แท่งแก้วหรือ magnetic bar (ขนาด 5×15 mm) คนตัวอย่างใน ice bath นาน 20 นาที โดยพยายามละลายตะกรอนให้หมด โดยการคน

5.2.9 หลังจากครบกำหนดแล้วเติม Sodium acetate buffer (1.2M, pH 3.8) ปริมาณ 8 ml แล้วใช้แท่งแก้วคนให้เข้ากัน

5.2.10 เติม Amyloglucosidase ปริมาณ 0.1 ml โดยทันที แล้วคนให้เข้ากัน

5.2.11 นำไปบ่มใน water bath ที่ 50°C นาน 30 นาที ในระหว่างนั้นทำการ mix ตัวอย่างในเครื่อง vortex mixer ทุกๆ 5 นาที เมื่อครบกำหนดแล้วนำตัวอย่างมาดูสี

5.2.12 ถ้าตัวอย่างมีสีเข้ม ($\text{RS} > 10\%$) นำตัวอย่างไปปรับปริมาตรให้ได้ 100 ml ด้วยน้ำกลั่น แต่ถ้าตัวอย่างมีสีอ่อน ($\text{RS} < 10\%$) ไม่ต้องปรับปริมาตร จากนั้นนำตัวอย่างไป centrifuge ที่ 3,000 รอบ/นาที นาน 10 นาที แล้วแยกของเหลวออกจากตะกรอน

5.2.13 ดูดของเหลวมา 0.1 ml แล้วเติม GOPOD mixture 3 ml ผสมให้เข้ากันจากนั้นนำไปบ่มใน water bath ที่ 50°C นาน 20 นาที ส่วน blank คือ Sodium acetate buffer (100 mM, pH 4.5) ปริมาณ 0.1 ml และ Standard คือ Glucose standard ปริมาณ 0.1 ml ผสมกับ GOPOD mixture ปริมาณ 3 ml แล้วนำไปบ่มเช่นเดียวกับตัวอย่าง

5.2.14 หลังจากครบกำหนดแล้ว นำตัวอย่างไปวัดค่าการดูดกลืนแสงที่ความยาวคลื่น 510 nm

5.2.15 นำค่าการดูดกลืนแสงที่วัดได้ไปคำนวณปริมาณ RS

5.3 สูตรการคำนวณหาปริมาณ RS

1. RS (กรัม/100 กรัมตัวอย่าง) (ตัวอย่างมี $\text{RS} > 10\%$)

$$= \Delta E \times F \times 100 / 0.1 \times 1 / 1000 \times 100 / W \times 162 / 180$$

$$= \Delta E \times F / W \times 90$$

2. RS (กรัม/100 กรัมตัวอย่าง) (ตัวอย่างมี RS<10%)

$$= \Delta E \times F \times 10.3 / 0.1 \times 1 / 1000 \times 100 / W \times 162 / 180$$

$$= \Delta E \times F / W \times 9.27$$

โดยที่ ΔE คือค่าการดูดกลืนแสง

F คือ 100/ค่าการดูดกลืนแสงของ Glucose standard

W คือ ค่าน้ำหนักแห้งของตัวอย่างที่นำมาวิเคราะห์หรือคำนวณ ได้จากน้ำหนัก

ของตัวอย่างที่นำมาวิเคราะห์ $\times [(100-\text{ความชื้น})/100]$

6. การวิเคราะห์ปริมาณ Total Starch (สำหรับตัวอย่างที่มี RS) (AACC 2000 methods 76.13)

6.1 การเตรียมสารที่ใช้ในการหาปริมาณ Total starch

- a) Sodium acetate buffer (100 mM, pH 5.0) ผสมกับ calcium chloride (5 mM) มีวิธีเตรียมดังนี้คือ

1. เติม glacial acetic acid จำนวน 5.8 ml ในน้ำกลั่น 900 ml แล้วคนให้เข้ากัน
2. ปรับ pH สารละลายให้ได้ 5.0 ด้วย sodium hydroxide (1M) เก็บสารละลายที่ 4°C นาน 2 เดือน
3. เติม calcium chloride dehydrate 0.74 กรัม ละลายให้เข้ากัน
4. ปรับปริมาณสารละลายให้ได้ 1 ลิตร ด้วยน้ำกลั่น เก็บสารละลายที่ 4°C ได้นาน 6 เดือน
5. สามารถเพิ่มความคงตัวของสารละลายด้วยการเติม sodium azide 0.2 กรัม (w/v) เก็บได้นาน 2 ปีที่อุณหภูมิห้อง

หมายเหตุ การเติม sodium azide ไม่ควรเติมจนกระทั่งปรับ pH แล้ว เพราะความเป็นของ sodium azide จะปล่อยแก๊สพิษออกมานะ

- b) Sodium acetate buffer (1.2 M, pH 3.8) มีวิธีเตรียมดังนี้ คือ

1. เติม glacial acetic acid จำนวน 69.6 ml ในน้ำกลั่น 800 ml แล้วคนให้เข้ากัน
2. ปรับ pH สารละลายให้ได้ 3.8 ด้วย sodium hydroxide (4M)
3. ปรับปริมาตรสารละลายให้ได้ 1 ลิตร ด้วยน้ำกลั่น
4. เก็บสารละลายที่อุณหภูมิห้อง เก็บได้นาน 1 ปี

- c) Potassium hydroxide solution (2M) มีวิธีเตรียมดังนี้ คือ

- 1 เติม KOH 112.2 กรัม ในน้ำ deionised 900 ml แล้วคนให้เข้ากัน
- 2 ปรับปริมาณสารละลายให้ได้ 1 ลิตร
- 3 เก็บสารละลายในขวดปิดผนึกที่อุณหภูมิห้อง เก็บได้นาน 2 ปี

การเตรียม solution มีวิธีเตรียมดังนี้

d) Solution 1

1. ละลาย α -amylase 0.1 ml ในสารละลาย Sodium acetate buffer (100 mM, pH 5.0) (ข้อ a) 30 ml
2. แบ่งใส่ขวด Polypropylene ให้เท่ากันทุกขวด
3. เก็บสารละลายที่อุณหภูมิ -20 °C เก็บได้นาน 3 ปี

e) Solution 2

Amyloglucosidase (10 ml, 3300 U/ml ใน soluble starch (or 200 U/ml ใน ρ -nitrophenyl β -maltoside) pH 4.5 และ 40 องศาเซลเซียส เก็บที่ 4 องศาเซลเซียส เก็บได้นานมากกว่า 4 ปี

f) Solution 3 มีวิธีเตรียมดังนี้คือ

ละลาย GOPOD Reagent Buffer ด้วยน้ำกลั่น 1 ลิตร (ทำทันทีที่ใช้)

g) Solution 4

1. ละลาย GOPOD Reagent Enzymes ด้วย solution 3 แล้วคนให้เข้ากัน
2. เก็บใส่ขวดที่ปิดด้วย aluminium foil และเก็บที่อุณหภูมิ 2-5 °C เก็บได้นาน 3 เดือนหรือเก็บสารละลายที่อุณหภูมิ -20 °C เก็บได้นานกว่า 1 ปี

h) Solution 5

สารละลายมาตรฐาน D-Glucose (5 ml, 0.1 mg/ml) ใน 0.2% (w/v) benzoic acid
เก็บที่อุณหภูมิห้องได้นานกว่า 4 ปี

i) Solution 6

Standardised regular maize starch control เก็บที่อุณหภูมิห้องได้นานกว่า 4 ปี

6.2 วิธีการปริมาณ Total Starch

1. ชั่งตัวอย่างที่บดแล้ว 100 mg ใส่ในหลอดทดลอง
2. ทำให้ตัวอย่างเปียกด้วย 80% ethanol (v/v) 0.2 ml แล้วนำไป mix ในเครื่อง vortex mixer

3. ใส่ magnetic bar (5×15 mm) และ 2M KOH 2 ml ลงในแต่ละหลอด คนตัวอย่างใน ice bath นาน 20 นาที
4. เติม 1.2 M Sodium acetate buffer (pH 3.8) 8 ml ลงในแต่ละหลอด ให้ magnetic bar คนให้เข้ากัน
5. เติม thermostable α -amylase 0.1 ml และ Amyloglucosidase ปริมาณ 0.1 ml แล้วคนให้เข้ากัน
6. นำไปปั่นใน water bath ที่อุณหภูมิ 50 องศาเซลเซียส นาน 30 นาที ในระหว่างนั้นทำการ mix ตัวอย่างในเครื่อง vortex mixture ทุกๆ 5 นาที
7. ตัวอย่างมี $> 10\%$ total starch นำตัวอย่างถ่ายใส่ Volumetric flask ขนาด 100 ml จากนั้นปรับปริมาณให้เป็น 100 ml ด้วยน้ำกลั่น แต่ถ้าตัวอย่างมี $< 10\%$ total starch ไม่ต้องปรับปริมาตร จากนั้นนำตัวอย่างไป centrifuge ที่ 1800 g นาน 10 นาที
8. คูณของเหลวมาปริมาณ 0.1 ml แล้วเติม GOPOD Reagent ปริมาณ 3 ml ลงในแต่ละหลอด ผสมให้เข้ากัน นำไปปั่นใน water bath ที่อุณหภูมิ 50 องศาเซลเซียส นาน 20 นาที ส่วน control คือ D-Glucose standard solution (1mg/mL) ปริมาณ 0.1 ml ผสมกับ GOPOD Reagent ปริมาณ 3 ml และ blank คือ น้ำกลั่น 0.1 ml ผสมกับ GOPOD Reagent ปริมาณ 3 ml แล้วนำไปปั่นเช่นเดียวกับตัวอย่าง
9. หลังจากครบกำหนดแล้วนำตัวอย่างไปวัดค่าการคูณคลื่นแสงที่ความยาวคลื่น 510 nm

7. การวิเคราะห์ค่าสีโดยใช้เครื่อง Minolta Chromameter รุ่น CT300

ตัดเส้นเล็กสดและเส้นเล็กแห้งที่ลวกแล้วเป็นชิ้นขนาด 1×1 นิว แล้ววัดตัวอย่าง 3 ชิ้น

บันทึกค่าสีเป็นระบบ Hunter value คือ $L^*a^*b^*$

เมื่อ L^* คือค่าความสว่าง (Lightness) มีค่าระหว่าง 0 - 100

a^* คือ $+a$ หมายถึง สีแดง $-a$ หมายถึง สีเขียว

b^* คือ $+b$ หมายถึง สีเหลือง $-b$ หมายถึง สีน้ำเงิน



8. การวิเคราะห์ลักษณะเนื้อสัมผัสแบบ Tensile strength และ compression 70% โดยใช้เครื่อง Texture Analyzer รุ่น TA-XT2

8.1 การวิเคราะห์ลักษณะเนื้อสัมผัสแบบ Tensile strength (Application study for noodle; N001/SPR, Revised: March 06)

1) ตัวอย่างเส้นกวยเตี๋ยว 1 เส้น พักกับขา probe ค้านบนและล่าง

2) ปรับ設ภาวะเครื่องเพื่อใช้ในการวัดดังนี้

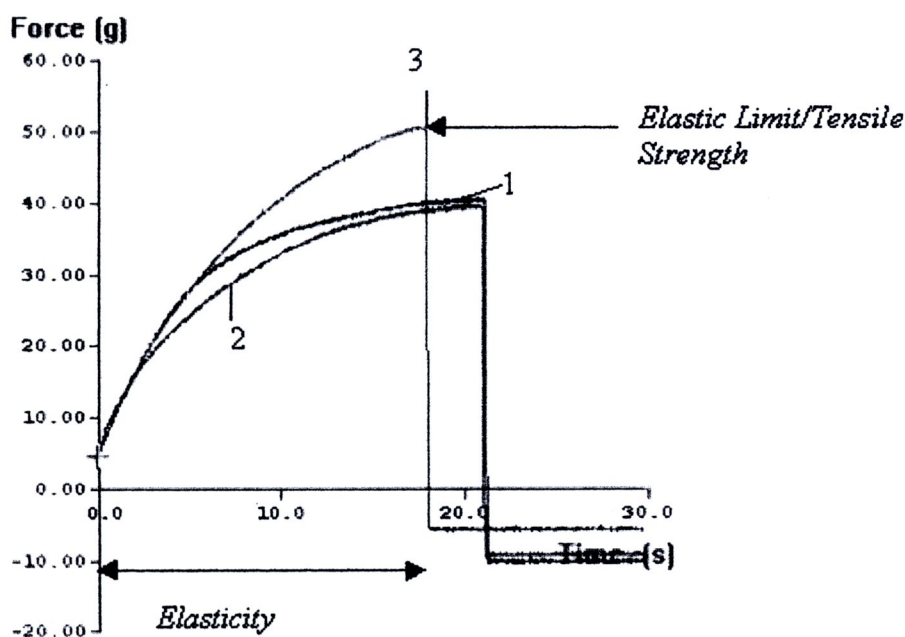
การวัด : วัดแรงสูงสุดที่ใช้ในการดึงเส้นก้าวเดียวให้ขาด (g.force)

Pre-Test Speed:	1.0 mm/s
Test Speed:	1.0 mm/s
Post-Test Speed:	10.0 mm/s
Distance:	100mm
Trigger Type:	Auto - 5g

ชนิดของหัววัด : Spaghetti tensile grips (A/SPR) ใช้ load cell ขนาด 5 kg

การบันทึกข้อมูล : บันทึกข้อมูลเป็น Force-Time Curve ทำการวัดจำนวน 3 ชั้้น

3) คำนวณค่าความคงทนต่อแรงดึง จาก Force-Time Curve ที่บันทึกโดยเครื่องมือ



ตัวอย่างกราฟแสดงการวัดลักษณะเนื้อสัมผัสแบบ Tensile strength

8.2 การวิเคราะห์ลักษณะเนื้อสัมผัสแบบ Compression 70% (Application study for noodle; N002/P2, Revised: March 06)

1) ตัดตัวอย่างเส้นก้าวเดียว 3 cm. จำนวน 5 เส้น

2) ปรับสภาวะเครื่องเพื่อใช้ในการวัดดังนี้

การวัด : Texture Profile Analysis

ชนิดของหัววัด : Cylindrical probe, Part No. P/2

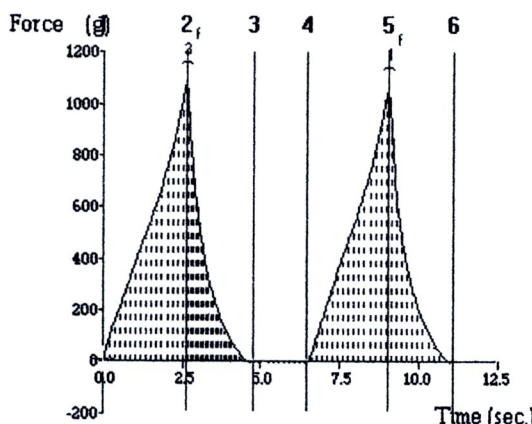
TA Settings:

Mode:	Measure Force in Compression
Option:	TPA
Pre-Test Speed:	1.0 mm/s
Test Speed:	1.0 mm/s
Post-Test Speed:	1.0 mm/s
Strain:	70%
Trigger Type:	Auto - 5g
Tare Mode:	Auto
Data Acquisition Rate:	200pps

การบันทึกข้อมูล : บันทึกข้อมูลเป็น Force – Time Curve

3) ให้หัววัดกดอัด (Compressed) ตัวอย่างในแนวตั้งจากให้เกิดการเปลี่ยนแปลงรูปร่างร้อยละ 70 (70% deformation)

4) คำนวณค่าต่างๆจาก Force – Time Curve ที่บันทึกโดยเครื่องมือ



ตัวอย่างกราฟแสดงการวัดลักษณะเนื้อสัมผัสแบบ TPA Compression

9. การวิเคราะห์ค่าการสูญเสียของแป้งขณะหุงลวก (cooking loss)

9.1 ชั่งตัวอย่างก่อนหุงเตี๊ยะประมาณ 30 กรัม (W) และนำไปต้มในน้ำเดือดปริมาตร 1 ลิตร เป็นเวลา 3 นาที

9.2 นำของเหลวที่ได้ปริมาตร 500 มิลลิลิตร ใส่ในบีกเกอร์ขนาด 1000 มิลลิลิตร ไป ระเหยน้ำบนเตา (Hot Plate) และนำไปอบแห้งที่อุณหภูมิ 103 องศาเซลเซียส จนน้ำหนักคงที่ (A)

9.3 คำนวณร้อยละการสูญเสียระหว่างการหุงดังนี้

$$\text{Cooking loss (\%)} = (A / W) \times 100$$

10. การวิเคราะห์คุณสมบัติความหนืดโดยใช้เครื่อง Rapid Visco Analyzer (AACC 2000 methods 61-02)

10.1 ชั่งตัวอย่างแป้งเป็นประมาณ 3.00 กรัม (14% moisture basis) ใส่ในกระบอกสำหรับวิเคราะห์ RVA

10.2 เติมน้ำกลั่น 25.0 มิลลิลิตร (± 0.1 มิลลิลิตร) (14% moisture basis)

10.3 ทำการกวนให้แป้งละนำผสานกันโดยใช้ใบกวน (Paddle) จากนั้นนำเข้าวิเคราะห์ในเครื่อง RVA โดยทำการวิเคราะห์ในช่วงอุณหภูมิ 50-95 องศาเซลเซียส ความเร็วรอบ 160-960 rpm

10.4 บันทึกค่า Pasting temperature ($^{\circ}\text{C}$), Peak viscosity (RVA), Breakdown (RVU), Final viscosity (RVU), Setback (RVU)

การคำนวณปริมาณตัวอย่างและน้ำกลั่นที่ใช้ในการทดลองสามารถคำนวณได้ตามสูตร ดังต่อไปนี้

$$S = 3 \times (100 - M)$$

$$(100 - M)$$

$$W = 25 + (3.0 - S)$$

เมื่อ S = น้ำหนักที่ถูกต้องของตัวอย่างแป้งที่ใช้ในการทดลอง

M = ปริมาณความชื้นที่แท้จริงของตัวอย่างแป้ง (Percent as is)

W = น้ำหนักที่ถูกต้องของน้ำกลั่นที่ใช้ในการทดลอง

สภาวะในการทำงานของเครื่อง RVA ดังนี้

อุณหภูมิเริ่มต้น 50 องศาเซลเซียส

อุณหภูมิ 50 องศาเซลเซียส ระยะเวลา 1 นาที

อุณหภูมิ 50-95 องศาเซลเซียส ระยะเวลา 3.8 นาที

อุณหภูมิ	95	องศาเซลเซียส	ระยะเวลานาน	2.4	นาที
อุณหภูมิ	95-50	องศาเซลเซียส	ระยะเวลานาน	3.8	นาที
อุณหภูมิ	50	องศาเซลเซียส	ระยะเวลานาน	2	นาที
รวมระยะเวลาที่ใช้ทั้งหมด				13	นาที

เครื่องจะแสดงผลการวัดค่าความหนืดเป็นหน่วยของเครื่องมือ (RVU) ค่าที่เครื่องแสดงผลอ่านได้บนจอคอมพิวเตอร์ ดังนี้

1. Peak time : เวลาที่เกิดความหนืดสูงสุดของแป้ง มีหน่วยเป็นนาที
2. Pasting Temperature : อุณหภูมิที่เริ่มนึกรเปลี่ยนแปลงค่าความหนืด หรือมีค่าความหนืดเพิ่มขึ้น 2 RVU ในเวลา 20 วินาที มีหน่วยเป็นองศาเซลเซียส
3. Peak Temperature : อุณหภูมิที่เกิดความหนืดสูงสุดของแป้ง
4. Holding Strength : ความหนืดที่ต่ำสุดระหว่างการทำให้เย็น มีหน่วยเป็น RVU
5. Breakdown : ความแตกต่างของความหนืดสูงสุดระหว่างการทำให้เย็น มีหน่วยเป็น RVU
6. Final Viscosity : ความหนืดสุดท้ายของการทดสอบ มีหน่วยเป็น RVU
7. Setback from Peak : ผลต่างของความหนืดสูดท้ายกับความหนืดที่จุดสูงสุด มีหน่วยเป็น RVU
8. Setback from Trough : ผลต่างของความหนืดสุดท้ายกับความหนืดที่จุดต่ำสุด มีหน่วยเป็น RVU

ภาคผนวก ข
ผลการวิเคราะห์ข้อมูลทางสถิติ

ตารางที่ 30 ผลการวิเคราะห์ความแปรปรวนของปริมาณความชื้นของหัวเผือกสดในแต่ละสายพันธุ์ที่เก็บเกี่ยวในฤดูกาลต่างๆ

Source	Type III Sum of Squares	Df	Mean Square	F	Sig.
Variety	27.690	3	9.230	33.769	0.000*
Season	118.200	2	59.100	216.222	0.000*
Variety*Season	234.778	6	39.130	143.159	0.000*
Error	3.280	12	0.273		
Total	147445.170	24			

หมายเหตุ * แตกต่างอย่างมีนัยสำคัญ ($p \leq 0.05$)

ตารางที่ 31 ผลการวิเคราะห์ความแปรปรวนของปริมาณสาร์ซทนย่อยของหัวเผือกสดในแต่ละสายพันธุ์ที่เก็บเกี่ยวในฤดูกาลต่างๆ

Source	Type III Sum of Squares	Df	Mean Square	F	Sig.
Variety	204.845	3	68.282	50.251	0.000*
Season	1379.623	2	689.811	507.656	0.000*
Variety*Season	392.230	6	65.372	48.109	0.000*
Error	16.306	12	1.359		
Total	36390.161	24			

หมายเหตุ * แตกต่างอย่างมีนัยสำคัญ ($p \leq 0.05$)

ตารางที่ 32 ผลการวิเคราะห์ความแปรปรวนของปริมาณความชื้นของแป้งที่ผ่านการไม่แห้งและสาร์ซีที่ผ่านการไม่เปียกของเมล็ดต่างสายพันธุ์ที่เก็บเกี่ยวในฤดูร้อน

Source	Type III Sum of Squares	Df	Mean Square	F	Sig.
Variety	0.029	2	0.015	0.037	0.964
Milling	0.056	1	0.056	0.141	0.720
Variety*Milling	1.833	2	0.917	2.307	0.181
Error	2.383	6	0.397		
Total	1338.244	12			

หมายเหตุ * แตกต่างอย่างมีนัยสำคัญ ($p \leq 0.05$)

ตารางที่ 33 ผลการวิเคราะห์ความแปรปรวนของปริมาณไขมันของแป้งที่ผ่านการไม่แห้งและสาร์ซีที่ผ่านการไม่เปียกของเมล็ดต่างสายพันธุ์ที่เก็บเกี่ยวในฤดูร้อน

Source	Type III Sum of Squares	Df	Mean Square	F	Sig.
Variety	0.019	2	0.009	2.932	0.129
Milling	0.195	1	0.195	59.467	0.000*
Variety*Milling	0.088	2	0.044	13.508	0.006*
Error	0.019	6	0.003		
Total	0.842	12			

หมายเหตุ * แตกต่างอย่างมีนัยสำคัญ ($p \leq 0.05$)

ตารางที่ 34 ผลการวิเคราะห์ความแปรปรวนของปริมาณโปรตีนของเปลือกที่ผ่านการไม่แห้งและสารชีที่ผ่านการไม่เปียกของเมล็ดต่างสายพันธุ์ที่เก็บเกี่ยวในฤดูร้อน

Source	Type III Sum of Squares	Df	Mean Square	F	Sig.
Variety	3.185	2	1.908	19.865	0.002*
Milling	237.287	1	237.287	2471.013	0.000*
Variety*Milling	3.019	2	1.509	15.718	0.004*
Error	0.576	6	0.096		
Total	499.795	12			

หมายเหตุ * แตกต่างอย่างมีนัยสำคัญ ($p \leq 0.05$)

ตารางที่ 35 ผลการวิเคราะห์ความแปรปรวนของปริมาณถ้าของเปลือกที่ผ่านการไม่แห้งและสารชีที่ผ่านการไม่เปียกของเมล็ดต่างสายพันธุ์ที่เก็บเกี่ยวในฤดูร้อน

Source	Type III Sum of Squares	Df	Mean Square	F	Sig.
Variety	0.795	2	0.398	394.019	0.000*
Milling	24.678	1	24.678	24456.15	0.000*
Variety*Milling	1.069	2	0.535	529.796	0.000*
Error	0.006	6	0.001		
Total	67.099	12			

หมายเหตุ * แตกต่างอย่างมีนัยสำคัญ ($p \leq 0.05$)

ตารางที่ 36 ผลการวิเคราะห์ความแปรปรวนค่าความสว่าง (L^*) ของแป้งที่ผ่านการไม่แห้งและสาร์ชที่ผ่านการไม่เปียกของເដືອກຕ່າງສາຍພັນຫຼູທີ່ເກີບເກິ່ວໃນຄຽວໜອນ

Source	Type III Sum of Squares	Df	Mean Square	F	Sig.
Variety	4.992	2	2.496	10.399	0.002*
Milling	220.850	1	220.850	920.102	0.000*
Variety*Milling	1.666	2	0.833	3.471	0.050*
Error	2.880	12	0.240		
Total	103847.565	18			

หมายเหตุ * ແຕກຕ່າງອ່າງມີນັບສຳຄັນ ($p \leq 0.05$)

ตารางที่ 37 ผลการวิเคราะห์ความแปรปรวนค่าความเป็นสีแดง (a^*) ของแป้งที่ผ่านการไม่แห้งและสาร์ชที่ผ่านการไม่เปียกของເດືອກຕ່າງສາຍພັນຫຼູທີ່ເກີບເກິ່ວໃນຄຽວໜອນ

Source	Type III Sum of Squares	Df	Mean Square	F	Sig.
Variety	2.281	2	1.141	175.323	0.002*
Milling	12.268	1	12.268	1886.00	0.000*
Variety*Milling	1.022	2	0.511	78.523	0.050*
Error	0.078	12	0.007		
Total	15.649	18			

หมายเหตุ * ແຕກຕ່າງອ່າງມີນັບສຳຄັນ ($p \leq 0.05$)

ตารางที่ 38 ผลการวิเคราะห์ความแปรปรวนค่าความเป็นสีเหลือง (b^*) ของเปลือกที่ผ่านการไม่แห้ง และสารชีวที่ผ่านการไม่เปียกของเพือกต่างสายพันธุ์ที่เก็บเกี่ยวในฤดูร้อน

Source	Type III Sum of Squares	Df	Mean Square	F	Sig.
Variety	0.492	2	0.246	31.764	0.002*
Milling	18.524	1	18.524	2394.00	0.000*
Variety*Milling	0.063	2	0.031	4.054	0.045*
Error	0.093	12	0.008		
Total	170.899	18			

หมายเหตุ * แตกต่างอย่างมีนัยสำคัญ ($p \leq 0.05$)

ตารางที่ 39 ผลการวิเคราะห์ความแปรปรวนดัชนีความขาว (whiteness) ของเปลือกที่ผ่านการไม่แห้ง และสารชีวที่ผ่านการไม่เปียกของเพือกต่างสายพันธุ์ที่เก็บเกี่ยวในฤดูร้อน

Source	Type III Sum of Squares	Df	Mean Square	F	Sig.
Variety	4.789	2	2.395	9.997	0.003*
Milling	236.987	1	236.987	989.431	0.000*
Variety*Milling	1.764	2	0.882	3.682	0.050*
Error	2.874	12	0.240		
Total	103280.306	18			

หมายเหตุ * แตกต่างอย่างมีนัยสำคัญ ($p \leq 0.05$)

ตารางที่ 40 ผลการวิเคราะห์ความแปรปรวนความหนืดสูงสุดของแป้งที่ผ่านการไม่แห้งและสารชีวะที่ผ่านการไม่เปียกของเพือกต่างสายพันธุ์ที่เก็บเกี่ยวในฤดูร้อน

Source	Type III Sum of Squares	Df	Mean Square	F	Sig.
Variety	703.263	2	351.632	1.983	0.218
Milling	11750.02	1	11750.02	66.255	0.000*
Variety*Milling	378.089	2	189.044	1.066	0.050*
Error	1064.079	6	177.346		
Total	173595.2	12			

หมายเหตุ * แตกต่างอย่างมีนัยสำคัญ ($p \leq 0.05$)

ตารางที่ 41 ผลการวิเคราะห์ความแปรปรวนค่าเบรกดาวน์ของแป้งที่ผ่านการไม่แห้งและสารชีวะที่ผ่านการไม่เปียกของเพือกต่างสายพันธุ์ที่เก็บเกี่ยวในฤดูร้อน

Source	Type III Sum of Squares	Df	Mean Square	F	Sig.
Variety	90.354	2	45.177	1.176	0.371
Milling	1749.909	1	1749.909	45.561	0.001*
Variety*Milling	215.32	2	107.67	2.803	0.050*
Error	230.446	6	38.408		
Total	15469.8	12			

หมายเหตุ * แตกต่างอย่างมีนัยสำคัญ ($p \leq 0.05$)



ตารางที่ 42 ผลการวิเคราะห์ความแปรปรวนความหนืดสุดท้ายของแป้งที่ผ่านการไม่แห้งและสารชีที่ผ่านการไม่เปียกของເដືອກຕ່າງສາຍພັນຖຸທີ່ເກີບເກິ່ວໃນຄຽວອນ

Source	Type III Sum of Squares	Df	Mean Square	F	Sig.
Variety	1102.567	2	551.284	5.988	0.037*
Milling	17851.74	1	17851.74	193.917	0.000*
Variety*Milling	947.115	2	473.557	5.144	0.050*
Error	552.351	6	92.058		
Total	172405.3	12			

หมายเหตุ * แตกต่างอย่างมีนัยสำคัญ ($p \leq 0.05$)

ตารางที่ 43 ผลการวิเคราะห์ความแปรปรวนค่าการคืนตัวของแป้งที่ผ่านการไม่แห้งและสารชีที่ผ่านการไม่เปียกของເດືອກຕ່າງສາຍພັນຖຸທີ່ເກີບເກິ່ວໃນຄຽວອນ

Source	Type III Sum of Squares	Df	Mean Square	F	Sig.
Variety	264.059	2	132.029	17.571	0.003*
Milling	4457.151	1	4457.151	593.164	0.000*
Variety*Milling	114.079	2	57.039	7.591	0.023*
Error	45.085	6	7.514		
Total	15967.25	12			

หมายเหตุ * แตกต่างอย่างมีนัยสำคัญ ($p \leq 0.05$)

ตารางที่ 46 ผลการวิเคราะห์ความแปรปรวนปริมาณสตาร์ชทั้งหมดของแป้งที่ผ่านการไม่แห้งและสตาร์ชที่ผ่านการไม่เยียกของเพือกต่างสายพันธุ์ที่เก็บเกี่ยวในฤดูร้อน

Source	Type III Sum of Squares	Df	Mean Square	F	Sig.
Variety	28.826	2	14.413	10.765	0.010*
Milling	970.068	1	970.068	724.541	0.000*
Variety*Milling	65.255	2	32.628	24.370	0.001*
Error	8.033	6	1.339		
Total	71177.749	12			

หมายเหตุ * แตกต่างอย่างมีนัยสำคัญ ($p \leq 0.05$)

ตารางที่ 47 ผลการวิเคราะห์ความแปรปรวนค่าแรงดึง (tensile strength) ของก้าวยเดียวเส้นเล็กสด ทดสอบด้วยแป้งเพือกต่างชนิดที่ระดับต่างๆ

Source	Type III Sum of Squares	Df	Mean Square	F	Sig.
Variety	2511.885	5	502.377	83.452	0.000*
Level	225.200	2	112.600	18.704	0.000*
Variety*Level	775.856	10	77.586	12.888	0.000*
Error	325.077	54	6.020		
Total	52947.432	72			

หมายเหตุ * แตกต่างอย่างมีนัยสำคัญ ($p \leq 0.05$)

ตารางที่ 44 ผลการวิเคราะห์ความแปรปรวนอุณหภูมิที่เริ่มเกิดความหนืดของแป้งที่ผ่านการไม่แห้ง และสตาร์ชที่ผ่านการไม่เปียกของเพือกต่างสายพันธุ์ที่เก็บเกี่ยวในฤดูร้อน

Source	Type III Sum of Squares	Df	Mean Square	F	Sig.
Variety	0.161	2	0.081	0.103	0.904
Milling	13.76	1	13.76	17.58	0.006*
Variety*Milling	1.228	2	0.614	0.784	0.050*
Error	4.696	6	0.783		
Total	83962.62	12			

หมายเหตุ * แตกต่างอย่างมีนัยสำคัญ ($p \leq 0.05$)

ตารางที่ 45 ผลการวิเคราะห์ความแปรปรวนปริมาณสตาร์ชที่ย้อมของแป้งที่ผ่านการไม่แห้งและสตาร์ชที่ผ่านการไม่เปียกของเพือกต่างสายพันธุ์ที่เก็บเกี่ยวในฤดูร้อน

Source	Type III Sum of Squares	Df	Mean Square	F	Sig.
Variety	43.782	2	21.891	59.624	0.000*
Milling	3076.263	1	3076.263	8379.00	0.000*
Variety*Milling	32.015	2	16.007	43.598	0.000*
Error	2.203	6	0.367		
Total	15497.001	12			

หมายเหตุ * แตกต่างอย่างมีนัยสำคัญ ($p \leq 0.05$)

ตารางที่ 48 ผลการวิเคราะห์ความแปรปรวนค่าความแข็ง (hardness) ของก๊วยเตี๋ยวเส้นเล็กสุด
ทดสอบคุณภาพเพื่อถูกต้องชนิดที่ระดับต่างๆ

Source	Type III Sum of Squares	Df	Mean Square	F	Sig.
Variety	6.693×10^7	5	1.339×10^7	77.913	0.000*
Level	4720816.248	2	2360408.124	13.738	0.000*
Variety*Level	5.493×10^7	10	5492770.626	31.969	0.000*
Error	9278044.039	54	171815.630		
Total	3.012×10^9	72			

หมายเหตุ * แตกต่างอย่างมีนัยสำคัญ ($p \leq 0.05$)

ตารางที่ 49 ผลการวิเคราะห์ความแปรปรวนค่าความเหนียวหนึบ (adhesiveness) ของก๊วยเตี๋ยวเส้นเล็กสุดทดสอบคุณภาพเพื่อถูกต้องชนิดที่ระดับต่างๆ

Source	Type III Sum of Squares	Df	Mean Square	F	Sig.
Variety	6.323×10^7	5	1.265×10^7	15.367	0.000*
Level	3.361×10^7	2	1.680×10^7	20.419	0.000*
Variety*Level	1.711×10^7	10	1711246.213	2.079	0.042*
Error	4.444×10^7	54	823007.063		
Total	6.241×10^8	72			

หมายเหตุ * แตกต่างอย่างมีนัยสำคัญ ($p \leq 0.05$)

ตารางที่ 50 ผลการวิเคราะห์ความแปรปรวนค่าความสามารถในการยึดเกาะ (cohesiveness) ของกัญชากี้เย็นเล็กสุดทดสอบด้วยแบบเพื่อทดสอบค่าที่ต่างๆ

Source	Type III Sum of Squares	Df	Mean Square	F	Sig.
Variety	0.588	5	0.118	39.271	0.000*
Level	0.001	2	0.000	0.088	0.916
Variety*Level	0.260	10	0.026	8.664	0.000*
Error	0.162	54	0.003		
Total	8.517	72			

หมายเหตุ * แตกต่างอย่างมีนัยสำคัญ ($p \leq 0.05$)

ตารางที่ 51 ผลการวิเคราะห์ความแปรปรวนค่าความยืดหยุ่น (springiness) ของกัญชากี้เย็นเล็กสุดทดสอบด้วยแบบเพื่อทดสอบค่าที่ต่างๆ

Source	Type III Sum of Squares	Df	Mean Square	F	Sig.
Variety	2.370	5	0.474	9.731	0.000*
Level	0.064	2	0.032	0.655	0.523
Variety*Level	1.053	10	0.105	2.162	0.035*
Error	2.631	54	0.049		
Total	45.033	72			

หมายเหตุ * แตกต่างอย่างมีนัยสำคัญ ($p \leq 0.05$)

ตารางที่ 52 ผลการวิเคราะห์ความแปรปรวนค่าความติดเหนียว (gumminess) ของกัวยเตี๋ยวเส้นเล็ก สอดทดสอบด้วยเป็นเพื่อต่างชนิดที่ระดับต่างๆ

Source	Type III Sum of Squares	Df	Mean Square	F	Sig.
Variety	1.555×10^7	5	3110179.517	21.383	0.000*
Level	608937.671	2	304468.836	2.093	0.133
Variety*Level	5063928.260	10	506392.826	3.482	0.001*
Error	7854350.523	54	145450.936		
Total	3.080×10^8	72			

หมายเหตุ * แตกต่างอย่างมีนัยสำคัญ ($p \leq 0.05$)

ตารางที่ 53 ผลการวิเคราะห์ความแปรปรวนค่าความคงทนเมื่อถูกเคี้ยว (chewiness) ของกัวยเตี๋ยวเส้นเล็กสอดทดสอบด้วยเป็นเพื่อต่างชนิดที่ระดับต่างๆ

Source	Type III Sum of Squares	Df	Mean Square	F	Sig.
Variety	2.963×10^7	5	5925864.612	17.553	0.000*
Level	925473.292	2	462736.646	1.371	0.263
Variety*Level	1.320×10^7	10	1320183.440	3.910	0.000*
Error	1.823×10^7	54	337605.132		
Total	2.319×10^8	72			

หมายเหตุ * แตกต่างอย่างมีนัยสำคัญ ($p \leq 0.05$)

ตารางที่ 54 ผลการวิเคราะห์ความแปรปรวนค่าความสว่าง (L^*) ของกัญชากี้ยาเส้นเล็กสุดทดลอง
ด้วยแบ่งເຜື່ອກຕ່າງໝັນດີທີ່ຮະດັບຕ່າງໆ

Source	Type III Sum of Squares	Df	Mean Square	F	Sig.
Variety	345.722	5	69.144	356.714	0.000*
Level	232.536	2	116.268	299.824	0.000*
Variety*Level	106.767	10	10.677	55.081	0.000*
Error	6.978	36	0.194		
Total	216980.515	54			

หมายเหตุ * ແຕກຕ່າງອ່າງມີນັຍສຳຄັນ ($p \leq 0.05$)

ตารางที่ 55 ผลการวิเคราะห์ความแปรปรวนค่าความสีแดง (a^*) ของกัญชากี้ยาเส้นเล็กสุดทดลอง
ด้วยแบ่งເຜື່ອກຕ່າງໝັນດີທີ່ຮະດັບຕ່າງໆ

Source	Type III Sum of Squares	Df	Mean Square	F	Sig.
Variety	71.202	5	14.240	2121.003	0.000*
Level	19.179	2	9.590	1429.003	0.000*
Variety*Level	8.186	10	0.819	121.947	0.000*
Error	0.242	36	0.153		
Total	101.520	54			

หมายเหตุ * ແຕກຕ່າງອ່າງມີນັຍສຳຄັນ ($p \leq 0.05$)

ตารางที่ 56 ผลการวิเคราะห์ความแปรปรวนค่าความสีเหลือง (b^*) ของกํวยเตี๋ยวเส้นเล็กสดทดแทนด้วยเปลือกต่างชนิดที่ระดับต่างๆ

Source	Type III Sum of Squares	Df	Mean Square	F	Sig.
Variety	65.163	5	13.033	86.531	0.000*
Level	1.998	2	0.999	6.402	0.004*
Variety*Level	46.825	10	4.683	30.012	0.000*
Error	5.617	36	0.156		
Total	2072.252	54			

หมายเหตุ * แตกต่างอย่างมีนัยสำคัญ ($p \leq 0.05$)

ตารางที่ 57 ผลการวิเคราะห์ความแปรปรวนดัชนีความขาว (whiteness) ของกํวยเตี๋ยวเส้นเล็กสดทดแทนด้วยเปลือกต่างชนิดที่ระดับต่างๆ

Source	Type III Sum of Squares	Df	Mean Square	F	Sig.
Variety	355.620	5	71.124	399.890	0.000*
Level	232.663	2	116.332	654.066	0.000*
Variety*Level	111.919	10	11.192	62.926	0.000*
Error	6.403	36	0.178		
Total	213315.937	54			

หมายเหตุ * แตกต่างอย่างมีนัยสำคัญ ($p \leq 0.05$)

ตารางที่ 58 ผลการวิเคราะห์ความแปรปรวนปริมาณสตาร์ชทนย่อยของกวยเตี๋ยวเส้นเล็กสุดทดลอง
ด้วยแบ่งเพือกต่างชนิดที่ระดับต่างๆ

Source	Type III Sum of Squares	Df	Mean Square	F	Sig.
Variety	2.168	5	0.434	81.233	0.000*
Level	0.135	2	0.067	12.640	0.000*
Variety*Level	0.230	10	0.023	4.315	0.003*
Error	0.096	18	0.005		
Total	58.490	36			

หมายเหตุ * แตกต่างอย่างมีนัยสำคัญ ($p \leq 0.05$)

ตารางที่ 59 ผลการวิเคราะห์ความแปรปรวนเปรียบเทียบปริมาณสตาร์ชทนย่อย (ร้อยละ โดยหนึ่งหนักแห้ง) ของกวยเตี๋ยวเส้นเล็กสุดทดลองด้วยแบ่งเพือกที่สูงที่สุดกับสูตรควบคุม

Source	Type III Sum of Squares	Df	Mean Square	F	Sig.
Treatment	1.232	1	1.232	362.382	0.003*
Error	0.007	2	0.003		
Total	7.741	4			

หมายเหตุ * แตกต่างอย่างมีนัยสำคัญ ($p \leq 0.05$)

ตารางที่ 60 ผลการวิเคราะห์ความแปรปรวนค่าแรงดึง (tensile strength) ของก๊วยเตี๋ยวเส้นเล็กแห้ง ทดสอบด้วยแบบพื้อกชนิดต่างๆผ่านการอบแห้งที่อุณหภูมิและความเร็วลมระดับต่างๆ

Source	Type III Sum of Squares	Df	Mean Square	F	Sig.
Type	242.008	2	121.004	42.606	0.000*
Temp	157.837	1	157.837	55.575	0.000*
Speed	13.129	1	13.129	4.623	0.042*
Type*Temp	280.912	2	140.456	49.455	0.000*
Type*Speed	71.814	2	35.907	12.643	0.000*
Temp*Speed	0.78	1	0.78	0.275	0.605
Type*Temp*Speed	8.097	2	4.048	1.425	0.260
Error	68.162	24	2.84		
Total	14731.361	36			

หมายเหตุ * แตกต่างอย่างมีนัยสำคัญ ($p \leq 0.05$)

ตารางที่ 61 ผลการวิเคราะห์ความแปรปรวนค่าความแข็ง (hardness) ของก๊วยเตี๋ยวเส้นเล็กแห้ง ทดสอบด้วยแบบพื้อกชนิดต่างๆผ่านการอบแห้งที่อุณหภูมิและความเร็วลมระดับต่างๆ

Source	Type III Sum of Squares	Df	Mean Square	F	Sig.
Type	3.346×10^7	2	1.673×10^7	71.291	0.000*
Temp	6725565.364	1	6725565.364	28.661	0.000*
Speed	82343.268	1	82343.268	0.351	0.559
Type*Temp	3338686.968	2	1669343.484	7.114	0.004*
Type*Speed	1071259.938	2	535629.969	2.283	0.102
Temp*Speed	868758.524	1	868758.524	3.720	0.066
Type*Temp*Speed	1253981.867	2	626990.933	2.672	0.090
Error	5631776.093	24	234657.337		
Total	1.575×10^9	36			

หมายเหตุ * แตกต่างอย่างมีนัยสำคัญ ($p \leq 0.05$)

ตารางที่ 62 ผลการวิเคราะห์ความแปรปรวนค่าความหนึ่งแน่น(adhesiveness)ของกําลังตีบานส์แล็กแห่งเทคโนโลยีเปลี่ยนผ่านนิตติ่งๆ ผ่านการอบแห้งที่อุณหภูมิและความเร็วลมระดับต่างๆ

Source	Type III Sum of Squares	Df	Mean Square	F	Sig.
Type	90642.693	2	45321.347	14.925	0.000*
Temp	14175.284	1	14175.284	4.668	0.041*
Speed	26610.092	1	26610.092	8.763	0.007*
Type*Temp	1001.595	2	500.798	0.165	0.849
Type*Speed	3901.213	2	1950.607	0.642	0.535
Temp*Speed	2346.757	1	2346.757	0.773	0.388
Type*Temp*Speed	920.876	2	460.438	0.152	0.860
Error	72878.555	24	3036.606		
Total	972619.250	36			

หมายเหตุ * แตกต่างอย่างมีนัยสำคัญ ($p \leq 0.05$)

ตารางที่ 63 ผลการวิเคราะห์ความแปรปรวนค่าความต้านทานการยืดภาค (cohesiveness) ของกําลังตีบานส์แล็กแห่งเทคโนโลยีเปลี่ยนผ่านนิตติ่งๆ ผ่านการอบแห้งที่อุณหภูมิและความเร็วลมระดับต่างๆ

Source	Type III Sum of Squares	Df	Mean Square	F	Sig.
Type	0.021	2	0.011	2.667	0.090
Temp	0.000	1	0.000	0.100	0.755
Speed	3.027×10^{-5}	1	3.027×10^{-5}	0.008	0.931
Type*Temp	0.008	2	0.004	1.059	0.362
Type*Speed	0.005	2	0.003	0.652	0.530
Temp*Speed	0.010	1	0.010	2.507	0.126
Type*Temp*Speed	0.003	2	0.002	0.394	0.679
Error	0.096	24	0.009		
Total	21.762	36			

หมายเหตุ * แตกต่างอย่างมีนัยสำคัญ ($p \leq 0.05$)

**ตารางที่ 64 ผลการวิเคราะห์ความแปรปรวนค่าความยืดหยุ่น (springiness) ของก๊วยเตี๋ยวสันเล็กแห้งทดลองด้วย
แป้งพื้อกชนิดต่างๆ ผ่านการอบแห้งที่อุณหภูมิและความเร็วลมระดับต่างๆ**

Source	Type III Sum of Squares	Df	Mean Square	F	Sig.
Type	0.129	2	0.065	7.404	0.003*
Temp	0.013	1	0.013	1.479	0.236
Speed	0.003	1	0.003	0.294	0.593
Type*Temp	0.029	2	0.014	1.638	0.215
Type*Speed	0.016	2	0.008	0.890	0.424
Temp*Speed	0.000	1	0.000	0.018	0.896
Type*Temp*Speed	0.026	2	0.013	1.511	0.241
Error	0.209	24	0.009		
Total	20.528	36			

หมายเหตุ * แตกต่างอย่างมีนัยสำคัญ ($p \leq 0.05$)

**ตารางที่ 65 ผลการวิเคราะห์ความแปรปรวนค่าความติดเหนียว (gumminess) ของก๊วยเตี๋ยวสันเล็กแห้งทดลองด้วย
ด้วนแป้งพื้อกชนิดต่างๆ ผ่านการอบแห้งที่อุณหภูมิและความเร็วลมระดับต่างๆ**

Source	Type III Sum of Squares	Df	Mean Square	F	Sig.
Type	2.896×10^7	2	1.448×10^7	36.747	0.000*
Temp	4777808.289	1	4777808.289	12.126	0.002*
Speed	69787.635	1	68787.635	0.175	0.680
Type*Temp	3425017.865	2	1712508.932	4.346	0.024*
Type*Speed	1139649.540	2	569824.770	1.446	0.255
Temp*Speed	2039762.132	1	2039762.132	5.177	0.052
Type*Temp*Speed	743783.620	2	371891.810	0.944	0.403
Error	9456500.728	24	394020.864		
Total	1.463×10^7	36			

หมายเหตุ * แตกต่างอย่างมีนัยสำคัญ ($p \leq 0.05$)

ตารางที่ 66 ผลการวิเคราะห์ความแปรปรวนค่าความคงทนเมื่อถูกเคี้ยว (chewiness) ของก๋วยเตี๋ยวเส้นเล็กแห้งทดลองด้วยแป้งเพื่อชนิดต่างๆ ผ่านการอบแห้งที่อุณหภูมิและความเร็วลมระดับต่างๆ

Source	Type III Sum of Squares	Df	Mean Square	F	Sig.
Type	2.376×10^7	2	1.188×10^7	19.490	0.000*
Temp	4685630.218	1	4685630.218	7.688	0.011*
Speed	223282.116	1	223282.116.0	0.366	0.551
Type*Temp	4096248.461	2	2048124.231	3.361	0.052
Type*Speed	2422850.098	2	1211425.049	1.988	0.159
Temp*Speed	717914.042	1	717914.042	1.178	0.289
Type*Temp*Speed	835819.069	2	417909.535	0686	0.513
Error	1.463×10^7	24	609436.664		
Total	5.797×10^8	36			

หมายเหตุ * แตกต่างอย่างมีนัยสำคัญ ($p \leq 0.05$)

ตารางที่ 67 ผลการวิเคราะห์ความแปรปรวนค่าความสว่าง (L*) ของก๋วยเตี๋ยวเส้นเล็กแห้งทดลองด้วยแป้งเพื่อชนิดต่างๆ ผ่านการอบแห้งที่อุณหภูมิและความเร็วลมระดับต่างๆ
(หลังการลวก)

Source	Type III Sum of Squares	Df	Mean Square	F	Sig.
Type	15.319	2	7.660	3.865	0.035*
Temp	75.342	1	75.342	38.017	0.084
Speed	2.361	1	2.361	1.192	0.286
Type*Temp	7.923	2	3.962	1.999	0.157
Type*Speed	16.385	2	8.193	4.134	0.059
Temp*Speed	34.457	1	34.457	17.387	0.000*
Type*Temp*Speed	10.726	2	5.363	2.706	0.087
Error	47.563	24	1.982		
Total	165484.849	36			

หมายเหตุ * แตกต่างอย่างมีนัยสำคัญ ($p \leq 0.05$)



ตารางที่ 68 ผลการวิเคราะห์ความแปรปรวนค่าความเป็นสีแดง (a^*) ของกัญชากี้ยาสีน้ำเงินเล็กแห้ง

ทดสอบด้วยแบบพื้อกชนิดต่างๆ ผ่านการอบแห้งที่อุณหภูมิและความเร็วลมระดับต่างๆ
(หลังการลวก)

Source	Type III Sum of Squares	Df	Mean Square	F	Sig.
Type	23.600	2	11.800	84.375	0.000*
Temp	0.453	1	0.453	3.242	0.084
Speed	0.036	1	0.036	0.258	0.616
Type*Temp	1.027	2	0.513	3.671	0.041*
Type*Speed	0.827	2	0.413	2.956	0.071
Temp*Speed	0.185	1	0.185	1.322	0.262
Type*Temp*Speed	0.973	2	0.486	3.477	0.047*
Error	3.356	24	0.140		
Total	206.638	36			

หมายเหตุ * แตกต่างอย่างมีนัยสำคัญ ($p \leq 0.05$)

ตารางที่ 69 ผลการวิเคราะห์ความแปรปรวนค่าความเป็นสีเหลือง (b^*) ของกัญชากี้ยาสีน้ำเงินเล็กแห้ง

ทดสอบด้วยแบบพื้อกชนิดอบแห้งที่อุณหภูมิและความเร็วลมระดับต่างๆ

(หลังการลวก)

Source	Type III Sum of Squares	Df	Mean Square	F	Sig.
Type	94.653	2	47.327	44.893	0.000*
Temp	10.978	1	10.978	10.414	0.003*
Speed	1.240	1	1.240	1.176	0.289
Type*Temp	0.741	2	0.370	0.351	0.707
Type*Speed	24.261	2	12.130	11.507	0.000*
Temp*Speed	12.769	1	12.769	12.112	0.002*
Type*Temp*Speed	10.734	2	5.367	5.091	0.019*
Error	25.301	24	1.054		
Total	3514.583	36			

หมายเหตุ * แตกต่างอย่างมีนัยสำคัญ ($p \leq 0.05$)

ตารางที่ 70 ผลการวิเคราะห์ความแปรปรวนดัชนีความขาว (whiteness) ของก๋วยเตี๋ยวเส้นเล็กแห้ง ทดสอบด้วยแบบเพื่อพิสูจน์ต่างๆ ผ่านการอบแห้งที่อุณหภูมิและความเร็วลมระดับต่างๆ (หลังลวก)

Source	Type III Sum of Squares	Df	Mean Square	F	Sig.
Type	35.170	2	17.585	9.020	0.001*
Temp	85.026	1	85.026	43.757	0.000*
Speed	1.099	1	1.099	0.566	0.459
Type*Temp	7.020	2	3.510	1.806	0.186
Type*Speed	28.112	2	14.056	7.234	0.003*
Temp*Speed	20.423	1	20.423	10.510	0.003*
Type*Temp*Speed	18.227	2	9.114	4.690	0.019*
Error	46.635	24	1.943		
Total	158032.044	36			

หมายเหตุ * แตกต่างอย่างมีนัยสำคัญ ($p \leq 0.05$)

ตารางที่ 71 ผลการวิเคราะห์ความแปรปรวนร้อยละการสูญเสียของแข็งขณะลวกของก๋วยเตี๋ยวเส้นเล็กแห้งที่ทดสอบด้วยแบบเพื่อพิสูจน์ต่างๆ ผ่านการอบแห้งที่อุณหภูมิและความเร็วลมระดับต่างๆ

Source	Type III Sum of Squares	Df	Mean Square	F	Sig.
Type	9.460	2	4.730	125.595	0.000*
Temp	0.572	1	0.572	15.202	0.002*
Speed	0.025	1	0.025	0.664	0.431
Type*Temp	0.221	2	0.110	2.930	0.092
Type*Speed	1.576	2	0.788	20.922	0.000*
Temp*Speed	1.030	1	1.030	27.354	0.054
Type*Temp*Speed	0.220	2	0.110	2.918	0.093
Error	0.452	12	0.038		
Total	1047.780	24			

หมายเหตุ * แตกต่างอย่างมีนัยสำคัญ ($p \leq 0.05$)

ตารางที่ 72 ผลการวิเคราะห์ความแปรปรวนปริมาณสตาร์ชทันย่อย (ร้อยละ โดยน้ำหนักแห้ง) ของ กวյาเตี่ยวเส้นเล็กแห้งทัดแทนด้วยแป้งเพื่อชนิดต่างๆ ผ่านการอบแห้งที่อุณหภูมิและ ความเร็วมรณะต่างๆ

Source	Type III Sum of Squares	Df	Mean Square	F	Sig.
Type	1.029	2	0.515	8.021	0.005*
Temp	0.28	1	0.28	4.366	0.057
Speed	0.148	1	0.148	2.311	0.152
Type*Temp	0.072	2	0.036	0.564	0.582
Type*Speed	0.066	2	0.033	0.518	0.608
Temp*Speed	0.399	1	0.399	6.212	0.057
Type*Temp*Speed	0.223	2	0.111	1.736	0.215
Error	0.834	12	0.064		
Total	85.933	24			

หมายเหตุ * แตกต่างอย่างมีนัยสำคัญ ($p \leq 0.05$)

ตารางที่ 73 ผลการวิเคราะห์ความแปรปรวนเปรียบเทียบปริมาณสตาร์ชทันย่อย (ร้อยละ โดยน้ำหนักแห้ง) ของ กวյาเตี่ยวเส้นเล็กแห้งทัดแทนด้วยแป้งจากเพือกที่สูงที่สุดกับสูตรควบคุม

Source	Type III Sum of Squares	Df	Mean Square	F	Sig.
Treatment	0.651	2	0.362	3.135	0.073
Error	1.558	15	0.104		
Total	66.316	18			

หมายเหตุ * แตกต่างอย่างมีนัยสำคัญ ($p \leq 0.05$)

ตารางที่ 74 ผลการวิเคราะห์ความแปรปรวนของค่าคะแนนเฉลี่ยความชอบด้านเนื้อสัมผัสของผลิตภัณฑ์เส้นเล็กแห้งที่ใช้เป็นทนย่อยจากเพื่อกทดสอบแบ่งข้าวบางส่วน

Source	Type III Sum of Squares	Df	Mean Square	F	Sig.
Treatment	50.588	5	10.118	3.282	0.006*
Error	1831.410	594	3.083		
Total	24711.000	600			

หมายเหตุ * แตกต่างอย่างมีนัยสำคัญ ($p \leq 0.05$)

ตารางที่ 75 ผลการวิเคราะห์ความแปรปรวนของค่าคะแนนเฉลี่ยความชอบด้านสีของผลิตภัณฑ์เส้นเล็กแห้งที่ใช้เป็นทนย่อยจากเพื่อกทดสอบแบ่งข้าวบางส่วน

Source	Type III Sum of Squares	Df	Mean Square	F	Sig.
Treatment	343.628	5	68.726	34.984	0.000*
Error	1166.890	594	1.964		
Total	25997.000	600			

หมายเหตุ * แตกต่างอย่างมีนัยสำคัญ ($p \leq 0.05$)

ตารางที่ 76 ผลการวิเคราะห์ความแปรปรวนของค่าคะแนนเฉลี่ยความชอบด้านกลิ่นของผลิตภัณฑ์เส้นเล็กแห้งที่ใช้เป็นทนย่อยจากเพื่อกทดสอบแบ่งข้าวบางส่วน

Source	Type III Sum of Squares	Df	Mean Square	F	Sig.
Treatment	11.688	5	2.338	0.790	0.557
Error	1758.630	594	2.961		
Total	24011.000	600			

หมายเหตุ * แตกต่างอย่างมีนัยสำคัญ ($p \leq 0.05$)

ตารางที่ 77 ผลการวิเคราะห์ความแปรปรวนของค่าคะแนนเฉลี่ยความชอบโดยรวมของผลิตภัณฑ์เส้นเล็กแห่งที่ใช้เป็นทนบุรีจากเพื่อกทดสอบเป็นข่าวบางส่วน

Source	Type III Sum of Squares	Df	Mean Square	F	Sig.
Treatment	50.133	5	10.027	4.714	0.000*
Error	1263.360	594	2.127		
Total	24776.000	600			

หมายเหตุ * แตกต่างอย่างมีนัยสำคัญ ($p \leq 0.05$)

ภาคผนวก ค
แบบทดสอบทางประสามสัมผัส

แบบสอบถามการทดสอบความชอบจากผู้บริโภคผลิตภัณฑ์ก่าวเตี่ยวน้ำเส้นเล็กแห้ง

ID.....

เพศ ชาย หญิง

กรุณาเลือกลักษณะเด่นและสำคัญที่สุดที่ท่านใช้ในการตัดสินใจเลือกซื้อก่าวเตี่ยวน้ำเส้นเล็กแห้ง
ให้เลือกเพียงข้อเดียว

- ความเหนียวติด
- ความนุ่ม
- ความยืดหยุ่น
- ถี
- อื่นๆ(โปรดระบุ)



คำชี้แจง

ขอให้ท่านผู้ทดสอบชิมบ้วนปากด้วยน้ำสะอาดที่เตรียมไว้ โดยบ้วนใส่โถบ้วนจากนั้นชินตัวอย่างผลิตภัณฑ์ก่าวเตี่ยว แล้วให้ก้าเครื่องหมาย ✓ ในช่องระดับความชอบที่ท่านคิดว่าตรงกับความรู้สึกต่อตัวอย่างนั้นๆ ที่สุด จากนั้นบ้วนปากด้วยน้ำดื่มน้ำสะอาดที่เตรียมไว้ให้ เพื่อถ่างรดกหางในปากก่อนชิมตัวอย่างถัดไป

ท่านมีความชอบในตัวอย่าง เท่าใด (ระบุรหัสตัวอย่าง)

เนื้อสัมผัส เช่น ความเหนียว-นุ่ม	ถี	กลิ่น	ความชอบโดยรวม
<input type="checkbox"/> ชอบมากอย่างยิ่ง	<input type="checkbox"/> ชอบมากอย่างยิ่ง	<input type="checkbox"/> ชอบมากอย่างยิ่ง	<input type="checkbox"/> ชอบมากอย่างยิ่ง
<input type="checkbox"/> ชอบมาก	<input type="checkbox"/> ชอบมาก	<input type="checkbox"/> ชอบมาก	<input type="checkbox"/> ชอบมาก
<input type="checkbox"/> ชอบ	<input type="checkbox"/> ชอบ	<input type="checkbox"/> ชอบ	<input type="checkbox"/> ชอบ
<input type="checkbox"/> ชอบเล็กน้อย	<input type="checkbox"/> ชอบเล็กน้อย	<input type="checkbox"/> ชอบเล็กน้อย	<input type="checkbox"/> ชอบเล็กน้อย
<input type="checkbox"/> ไม่แน่ใจ	<input type="checkbox"/> ไม่แน่ใจ	<input type="checkbox"/> ไม่แน่ใจ	<input type="checkbox"/> ไม่แน่ใจ
<input type="checkbox"/> ไม่ชอบเล็กน้อย	<input type="checkbox"/> ไม่ชอบเล็กน้อย	<input type="checkbox"/> ไม่ชอบเล็กน้อย	<input type="checkbox"/> ไม่ชอบเล็กน้อย
<input type="checkbox"/> ไม่ชอบ	<input type="checkbox"/> ไม่ชอบ	<input type="checkbox"/> ไม่ชอบ	<input type="checkbox"/> ไม่ชอบ
<input type="checkbox"/> ไม่ชอบมาก	<input type="checkbox"/> ไม่ชอบมาก	<input type="checkbox"/> ไม่ชอบมาก	<input type="checkbox"/> ไม่ชอบมาก
<input type="checkbox"/> ไม่ชอบมากอย่างยิ่ง	<input type="checkbox"/> ไม่ชอบมากอย่างยิ่ง	<input type="checkbox"/> ไม่ชอบมากอย่างยิ่ง	<input type="checkbox"/> ไม่ชอบมากอย่างยิ่ง

เมื่อท่านตอบคำถามเสร็จแล้ว กรุณาเลื่อน\data\ชิมไว้ข้างหน้าบูททดสอบชิมของท่าน หากต้องการสิ่งใดเพิ่มเติมกรุณายกมือขึ้นเพื่อส่งสัญญาณให้นักวิจัยทราบ

